

- β. Flächen einer Achse parallel.
1. Prismen erster Art $\{okl\}$. Fig. 114.
 2. Prismen zweiter Art $\{hol\}$. Fig. 115.
 3. Prismen dritter Art $\{hko\}$. Fig. 116.
- γ. Flächen keiner Achse parallel.
4. Bipyramiden $\{hkl\}$. Fig. 117.

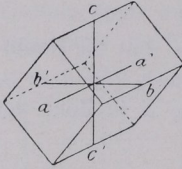


Fig. 114.
Ein Prisma 1. Art.

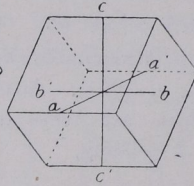


Fig. 115.
Ein Prisma 2. Art.

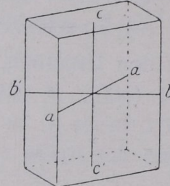


Fig. 116.
Ein Prisma 3. Art.

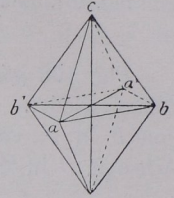


Fig. 117.
Eine rhombische Bipyramide.

II. Pyramidale Klasse. 4. Stufe. Erzeugende Symmetrie $2d$ (digyrisch domatisch) Fig. 118. Volle Symmetrie Fig. 119. c -Achse heteropolar; Hemimorphismus. Entsprechend Fig. 119 sind die sieben Gestaltstypen aus den sieben Punktlagen $A, B, C, 1, 2, 3, 4$ des Urbauteils der Fig. 108 abzuleiten.

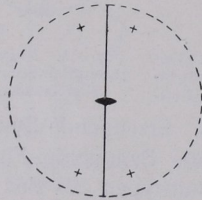


Fig. 118. Erzeugende Symmetrie der rhombisch-pyramidalen Klasse ($2d$).

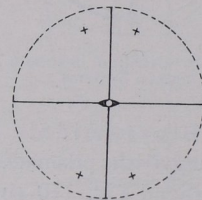


Fig. 119. Allgemeines rhombisch-pyramidales Bauschema.

- A. Erstes Pinakoid $\{100\}$.
 - B. Zweites Pinakoid $\{010\}$.
 - C. Dritte Pedien $\{001\}$ und $\{00\bar{1}\}$.
1. Domen erster Art $\{okl\}$ und $\{ok\bar{l}\}$.
 2. Domen zweiter Art $\{hol\}$ und $\{ho\bar{l}\}$.
 3. Prismen dritter Art $\{hko\}$.
 4. Pyramiden $\{hkl\}$ und $\{hk\bar{l}\}$.

III. Bisphenoidische Klasse. 3. Stufe. Erzeugende Symmetrie. $2s$ (digyrisch sphenoidisch) Fig. 120. Volle Symmetrie Fig. 121. Sieben Gestaltstypen entsprechend Fig. 121 und 108.